

C. R. Acad. Sci. Paris, t.319 , Série II , P.57-62 ,1994  
 Systèmes extra-galactiques/ *Extra-galactic Systems*

## Structure à grande échelle de l'Univers jusqu'à la distance de 200 Mpc.

Hélène DI NELLA et Georges PATUREL

**Résumé** – La distribution des galaxies jusqu'à une distance de 200 mégaparsecs (650 millions d'année-lumière) est aplatie et montre une structure formant une coquille, approximativement centrée sur le Super Amas Local (Amas Virgo). Ce résultat confirme clairement l'existence de la structure hypergalactique mentionnée en 1988. C'est actuellement la plus grosse structure jamais détectée.

### Large-scale structure of the Universe up to a distance of 200 Mpc.

**Abstract** – *The distribution of galaxies up to a distance of 200 Mpc (650 million light-years) is flat and shows a structure like a shell roughly centered on the Local Supercluster (Virgo cluster). This result clearly confirms the existence of the hypergalactic large scale structure noted in 1988. This is presently the largest structure ever seen.*

*Abridged English Version* – From projections of the whole sky it is obvious that galaxies are not randomly distributed but that they are merged in clusters and large structures of several tens of megaparsecs. It is already known, after de Vaucouleurs studies ([8],[9]), that nearby galaxies form a flat structure, the Local Super cluster, the pole of which is defined by galactic coordinates  $l = 47$  deg;  $b = 6$  deg. Several studies ([5],[6],[7],[11]) tend to show that distant clusters are located close to this plane. More recently ([1], [3]) the existence of a flat large structure was suspected with a pole at  $l = 57$  deg;  $b = 22$  deg.

From the Lyon-Meudon Extragalactic Database (LEDA), we built a sample of 24324 galaxies with radial velocities smaller than  $15000 \text{ km.s}^{-1}$ . This sample will be used to search for the most populated plane. However, we have to take care about the completeness of the sample to be sure that the result will not come from a particular feature of the sample itself. The completeness was tested form Rel.2 in which  $N_t$  is the number of galaxies with diameter greater than  $D$ .  $D$  is the apparent diameter at the brightness level of  $25 \text{ mag.arcsec}^{-2}$  ( $D$  is expressed in 0.1' units). When the sample is complete, the slope of Rel. 2 is constant, while it bends where the sample begins to be incomplete. The completeness limit for our sample is near  $\log D = 1.2$ . When the sample is restricted to this limit (i.e.  $\log D > 1.2$ ) the number of galaxies is only 5683. This will constitute the complete sample used to search for the most populated plane.

Thus, we counted galaxies within  $\pm 15$  deg around different planes defined by their poles. Pole directions were chosen over the range 0 deg to 90 deg for the galactic latitude  $b$  and over the range 0 deg to 360 deg for the galactic longitude  $l$ . The results of these counts are given in Table 1, where it can be seen that the position  $lp = 52$  deg;  $bp = 16$  degdefining the most populated plane is quite stable with increasing distances. In this zone, about 45% of the complete sample lay in only 25% of the surface of the sphere. This pole will define the hypergalactic plane, and will be used to define hypergalactic coordinates. The origin of hypergalactic longitudes is arbitrarily defined as  $l(\text{origin}) = l(\text{pole})$  and  $b(\text{origin}) = b(\text{pole}) - 90$  deg.

The total sample of 24,324 galaxies with known radial velocity is then used to make a representation of galaxy distribution within a distance of 200Mpc. The distance of each galaxy is calculated

trough the Hubble law (Rel. 1) assuming that  $H = 75 \text{ km.s}^{-1} \text{Mpc}^{-1}$ . The (X,Y,Z) coordinates were calculated from Eq. 3-5, in which (hgl,hgb) are the hypergalactic longitude and latitude, respectively. We projected on the X-Y hypergalactic plane all galaxies with  $|hgb| < 15 \text{ deg}$ . The result is given in Fig. 1. The most interesting feature is the ring-like structure centered on the Local Super Cluster (Virgo cluster). A study in the X-Z plane suggests that the structure is actually a shell (Fig. 2). The so-called *Big Wall* [2] is a part of it. This shell is presently the largest structure ever seen. Its kinematical and dynamical properties are not easy to understand. Anyway, it confirms the existence of the hypergalactic structure previously quoted [3].

---

## 1 Introduction

Les projections stéréographiques montrent que les galaxies ne sont pas distribuées au hasard, mais qu'elles sont agglomérées en groupes ou en amas de plusieurs centaines de galaxies s'étendant sur quelques dizaines de mégaparsecs. En 1953-1956, l'astronome Gérard de Vaucouleurs a montré que les galaxies proches (vitesse de récession plus petite que  $3000 \text{ km.s}^{-1}$ ) forment une structure plane connue maintenant comme le Super Amas Local. En coordonnées galactiques le pôle de ce plan est  $l = 47 \text{ deg}$ ;  $b = 6 \text{ deg}$ . En 1982 Zel'dovich, Einasto et Shandarin notent que les amas de galaxies lointains (vitesse supérieure à  $7000 \text{ km.s}^{-1}$ ), sont situés préférentiellement dans un plan. Ce résultat est confirmé par Shectman en 1985 puis par Tully (1986 et 1987) qui note que ce plan préférentiel est voisin de celui du Super Amas Local. Au même moment, Bottinelli et al. (1986) signalent une structure aplatie visible sur une projection stéréographique de Flamsteed (projection conservant les aires) réalisée avec des galaxies individuelles. Ils donnent la position du pôle  $l = 57 \text{ deg}$ ;  $b = 26 \text{ deg}$ , valeur révisée plus tard en  $l = 57 \text{ deg}$ ;  $b = 22 \text{ deg}$  (Paturel et al. 1988).

## 2 Recherche du plan privilégié pour l'étude de la cinématique

Dans l'objectif de se ramener à un plan dans lequel on puisse étudier plus facilement la cinématique de l'Univers local, nous avons cherché de manière systématique le plan sur lequel se situe le plus grand nombre de galaxies de l'Univers proche. Nous avons construit un échantillon de 24324 galaxies à partir de la base de données extragalactiques des observatoires de Lyon-Meudon (LEDA), en extrayant pour chaque galaxie les paramètres suivants: – les coordonnées galactiques  $l$  et  $b$  correspondant à la longitude et à la latitude respectivement – la vitesse radiale de récession  $v$  qui sera utilisée comme mesure de la distance avec la loi de Hubble.

$$d = v/H \quad (1)$$

où  $d$  est la distance en mégaparsecs,  $v$  la vitesse radiale en  $\text{km.s}^{-1}$  et  $H$  la constante de Hubble en  $\text{km.s}^{-1} \text{Mpc}$ . Dans tout ce travail la valeur de cette constante sera prise arbitrairement égale à  $75 \text{ km.s}^{-1} \text{Mpc}$  (c'est à dire une valeur moyenne entre les valeurs extrêmes publiées).

Par ailleurs, afin que le résultat ne dépende pas de l'échantillon utilisé, nous nous sommes assurés de la complétude de l'échantillon, pour travailler avec toutes les galaxies de diamètre supérieur à une certaine limite. Pour cela, nous avons construit la courbe

$$\log N_t = f(\log D), \quad (2)$$

où  $N_t$  est le nombre de galaxies de diamètre isophotal supérieur à  $D$ . L'isophote adopté pour la définition du diamètre est par convention de 25 magnitudes par seconde de degré au carré<sup>1</sup> et

---

<sup>1</sup>L'isophote est tel que le flux par seconde de degré au carré correspondrait au flux d'une étoile de magnitude 25

l'unité de mesure est 0,1 minute de degré. Pour les galaxies n'ayant pas de mesure de diamètre mais seulement une mesure de magnitude, nous avons déduit le diamètre de la relation  $\log D = -0,2m+4$  où  $m$  est la magnitude apparente totale.

Il est facile de montrer que pour un univers homogène le nombre de galaxies augmente avec la distance selon une loi en puissance (Paturel et al., 1994). La pente de la relation 2 est alors constante tant que l'échantillon est complet. Au-delà, la courbe s'infléchit brusquement et le point de décrochage donne la limite de complétude. Le résultat de ce test est que la complétude est bonne jusqu'à  $\log D = 1,2$ . Finalement, notre échantillon complet, contenant toutes les galaxies dont la vitesse de récession est inférieure à  $15000 \text{ km.s}^{-1}$  et telles que  $\log D > 1,2$ , se restreint à 5683 galaxies.

Pour un plan défini par les coordonnées de son pôle:  $lp$  et  $bp$  (longitude et latitude galactique respectivement), nous avons compté le nombre de galaxies se trouvant dans une zone de  $\pm 15$  deg de part et d'autre du plan. Nous avons fait une recherche systématique du meilleur plan en donnant des valeurs de 0 à 90 deg à  $b$  et de 0 à 360 deg à  $l$ .

Nous pouvons voir dans la Table 1 le résultat du comptage de galaxies:  $d$  est la distance limite du comptage (donnée en mégaparsec),  $N_{gal}$  est le nombre total de galaxies situées dans cette limite,  $lp$  et  $bp$  sont les coordonnées galactiques du pôle définissant le plan regroupant le plus grand nombre de galaxies et  $\%_{gal}$  est le pourcentage de galaxies se trouvant à  $\pm 15$  deg du plan précédent. Si les galaxies étaient réparties uniformément dans la sphère de comptage de rayon  $d$ , en regardant dans une zone de 30 deg, c'est à dire d'angle solide  $\pi$  stéradians, on devrait y trouver 25% du nombre total de galaxies de cette sphère (proportion des angles solides). Dans la Table 1, on voit que le nombre de galaxies trouvées dans le plan est bien supérieur (44%), ce qui montre que la répartition des galaxies dans l'Univers local est plutôt aplatie.

Une position du pôle à  $lp = 52$  deg et  $bp = 16$  deg semble particulièrement stable entre 80 Mpc et 200 Mpc. Ce pôle est assez proche de celui trouvé en 1986 et 1988. Ce pôle définira le plan hypergalactique. D'après la Table 1, on peut également donner une nouvelle mesure de la position du pôle du Super Amas Local. En 1976 de Vaucouleurs donnait  $lp = 47$  deg et  $bp = 6$  deg pour les galaxies jusqu'à environ  $3000 \text{ km.s}^{-1}$ , ici nous trouvons  $lp = 46$  deg et  $bp = 14$  deg, pour la même région.

### 3 Représentation de l'Univers local dans le plan hypergalactique

Par une transformation de coordonnées, on peut représenter les galaxies de la zone  $\pm 15$  deg en projection sur le plan hypergalactique. La transformation est la suivante:

$$X = d \cdot \cos(hgb) \cdot \cos(hgl) \quad (3)$$

$$Y = d \cdot \cos(hgb) \cdot \sin(hgl) \quad (4)$$

$$Z = d \cdot \sin(hgb) \quad (5)$$

Les coordonnées hypergalactiques (hgl,hgb) sont calculées par un changement de repère à partir des coordonnées galactiques du pôle et de l'origine des longitudes. Cette origine des longitudes hypergalactiques est définie arbitrairement dans le plan hypergalactique aux coordonnées:  $l(\text{origine}) = l(\text{pole})$  et  $b(\text{origine}) = b(\text{pole}) - 90$  deg. On peut voir cette représentation sur la figure Fig. 1.

Cette représentation appelle plusieurs remarques:

- Des structures radiales très allongées sont visibles, par exemple à la périphérie du graphique. Ces structures résultent de l'incertitude sur la distance déduite de la vitesse radiale. En

effet la vitesse radiale mesurée n'est pas seulement la vitesse cosmologique (fonction de la distance). Elle compte aussi la composante radiale de la dispersion aléatoire des vitesses. Il apparaît donc une dispersion sur les distances, alors que pratiquement aucune erreur n'existe en direction. Les amas de galaxies apparaissent donc étirés le long de la ligne de visée. La conséquence pratique est qu'il ne faudra pas accorder trop de réalité aux structures radiales qui peuvent provenir de cet artefact.

- On voit également une zone (verticale sur le graphique) où aucune galaxie n'apparaît. Cette zone résulte de l'absorption due à la poussière du disque de notre Galaxie qui cache les autres galaxies de l'Univers dans cette direction. Les relevés dans l'infrarouge devraient permettre de combler partiellement cette zone d'absence.
- Le résultat le plus intéressant visible sur la Fig. 1 est la structure en forme d'anneau centrée sur le Super Amas Local (amas Virgo) et d'un rayon d'environ 90 Mpc (pour  $H = 75 \text{ km.s}^{-1} \text{ Mpc}^{-1}$ ). On ne peut pas invoquer l'artefact vu précédemment puisque cette structure n'est pas radiale. Une projection perpendiculaire au plan hypergalactique (Fig. 2) permet de dire que cet anneau est la trace d'une coquille ellipsoïdale, sensiblement centrée sur le Super amas local. La structure connue sous le nom de "grand mur" (Huchra et al., 1990) apparaît être une portion de cette coquille.

## 4 Conclusion

Avec un échantillon complet en diamètre apparent, nous avons trouvé un plan privilégié dans l'Univers local. Ce plan est identifié au plan hypergalactique trouvé avec la base de données de Lyon-Meudon (Bottinelli et al. 1986; Paturel et al. 1988). Ce plan s'identifie à plus grande échelle avec le plan trouvé par Tully (1986). La représentation des galaxies dans ce plan fait apparaître la trace d'une coquille ellipsoïdale aplatie approximativement centrée sur le Super Amas Local (c'est à dire approximativement sur le centre de l'amas Virgo). Ce résultat confirme clairement l'existence de la très grande structure *hypergalactique* mentionnée par Paturel et al. (1988).

Cette structure est intéressante car c'est actuellement la plus grande structure connue. Son étude tant cinématique que dynamique pose quelques problèmes. Si la gravitation est responsable de la forme à symétrie centrale, on comprend mal comment l'équilibre d'une telle structure pourrait être assuré.

## REFERENCES BIBLIOGRAPHIQUES

- [1] L. BOTTINELLI, P. FOUQUE, L. GOUGUENHEIM, G. PATUREL, *Structure à grande échelle visible avec la base de données extragalactiques*, 1986, La dynamique des structures gravitationnelles.
- [2] J.P. HUCHRA, J.P. HENRY, M. POSTMAN et M.J. GELLER, 1990, The Astrophysical Journal, 365, 66
- [3] G. PATUREL, L. BOTTINELLI, L. GOUGUENHEIM et P. FOUQUE, *New determination of the pole of a "hypergalactic" large-scale system*, Astronomy and Astrophysics, 1988, 189, 1
- [4] G. PATUREL, H. DI NELLA, L. BOTTINELLI, P. FOUQUE et L. GOUGUENHEIM *Interpretation of a completeness curve*, Astronomy and Astrophysics, 1994 (Sous-presse)
- [5] S.A. SHECTMAN, 1985, The Astrophysical Journal Supplement Series, 57, 77
- [6] R.B. TULLY, *Alignment of clusters and galaxies on scales up to 0.1c*, 1986, The Astrophysical Journal, 303, 25
- [7] R.B. TULLY, *More about clustering on a scale of 0.1c*, 1987, The Astrophysical Journal, 323, 1
- [8] G. DE VAUCOULEURS, 1953, Astronomical Journal, 58, 30

- [9] G. DE VAUCOULEURS, 1956, *Vistas Astr.*, 2, 1584
- [10] G. DE VAUCOULEURS, A. DE VAUCOULEURS, JR. H.G. CORWIN, *Second Reference Catalogue of Bright Galaxies*, 1976, University of Texas Press, Austin
- [11] YA. B. ZEL'DOVICH, J. EINASTO et S.F. SHANDARIN, 1982, *Nature*, 300, 407

*Observatoire de Lyon  
69561 Saint-Genis Laval CEDEX, France  
téléphone: 78.86.83.83  
télécopie: 78.86.83.86  
e-mail: patu@adel.univ-lyon1.fr*

Table 1: Nombre de galaxies situées à une distance inférieure à  $d$  et pourcentage (%gal) de galaxies localisées à  $\pm 15$  deg du plan défini par le pôle de coordonnées  $lp$  et  $bp$ . Ce pourcentage est très supérieur à ce que laisse attendre une distribution homogène des galaxies (voir le texte). – *Number of galaxies located at a distance smaller than  $d$  and percentage (%gal) of galaxies located at  $\pm 15$  deg of the plane defined by the pole of coordinates  $lp$  and  $bp$ . This percentage is much higher than the one expected for an homogeneous distribution of galaxies (see text).*

$d(Mpc)$ :	20	40	60	80	100	120	140	160	180	200
$N_{gal}$ :	1037	2774	3945	4939	5310	5507	5593	5643	5661	5683
$lp(\text{deg})$ :	46	46	46	51	52	52	52	52	52	52
$bp(\text{deg})$ :	14	14	17	16	16	16	16	16	16	16
%gal :	55	46	46	45	45	44	44	44	44	44

Figure 1: Vue du plan hypergalactique. La trace de la coquille est visible. Sa position est approximativement centrée sur l’amas Virgo. – *Face-on view of the hypergalactic plane. The trace of the shell is visible. Its position is nearly centered on the Virgo cluster.*

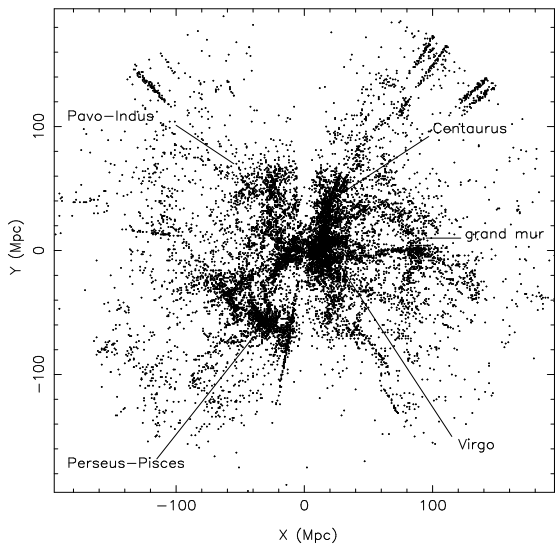


Figure 2: Vue perpendiculaire au plan hypergalactique. Une trace similaire à celle que nous avions dans le plan hypergalactique est encore visible, ce qui fait penser que la structure à la forme d'une coquille ellipsoïdale. –View perpendicular to the hypergalactic plane. A trace similar to the one seen on the hypergalactic plane is still visible. This suggests that the structure has the shape of an ellipsoidal shell.

